

# Problème Inverse : Transfert Radiatif et Apprentissage

Roussel Desmond NZOYEM

Université de Strasbourg  
UFR de mathématiques et d'informatique  
Master 1 CSMI

August 25, 2020

# Simulation 2D de l'équation du transfert radiatif et reconstruction de la densité par un réseau de neurones

Roussel Desmond NZOYEM

**Enseignant referent**  
Christophe PRUD'HOMME

**Maitre de stage**  
Emmanuel FRANCK  
Laurent NAVORET  
Vincent VIGON

Annee Academique 2019/2020

L'équipe MOCO compte plusieurs membres parmi lesquels MM.:

- Emmanuel FRANCK
- Laurent NAVORET

Responsables des séminaires en EDP

L'équipe MOCO compte plusieurs membres parmi lesquels MM.:

- Emmanuel FRANCK
- Laurent NAVORET

Responsables des séminaires en EDP

- Partenariats internationaux (Portugal, Allemagne, USA, etc.)
- Partenariats industriels
- Modélisation des plasmas

L'équipe Probabilités compte plusieurs membres parmi lesquels  
M.:

■ Vincent VIGON

L'équipe Probabilités compte plusieurs membres parmi lesquels M.:

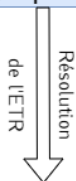
- Vincent VIGON

Des activités diverses:

- Partenariats internationaux (Allemagne, Australie, Chine, etc)
- Séminaire (de calcul) stochastique.

Probleme direct  
(Resolution de l'EDP du transfert radiatif)

Densité, opacités, etc.

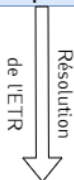


Signaux sur les bords du domaine

## Probleme direct

(Resolution de l'EDP du transfer radiatif)

Densité, opacités, etc.

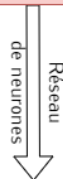


Signaux sur les bords du domaine

## Probleme inverse

(Reconstruction de la densite par un ANN)

Signaux sur les bords du domaine



Densité



Trois point clés pour situer le stage:

- 1 Explosion du deep learning
- 2 APplications dans le secteur medical (Imagerie medicale)
- 3 Reevaluation des methode de resolution de problemes inverse

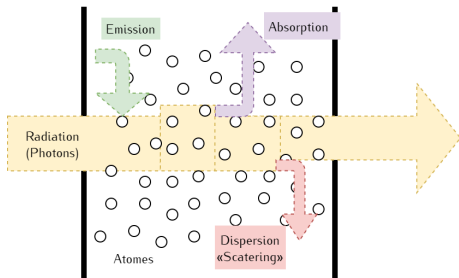
# Sommaire

- 1 Introduction
  - L'IRMA
  - Le sujet du stage
- 2 Principe
  - Simulation de l'ETR
  - Réseau de neurones
- 3 Le problème en 1D
  - Simulation
  - Apprentissage
- 4 Le problème en 2D
  - Simulation
  - Apprentissage
- 5 Conclusion
  - Sur l'apprentissage
  - Generale

# Le transfer radiatif

Lorsque la photons se trouvent en presence de la matière, Trois phenomènes majeures (caratistes par leurs opacites) se produisent:

- Emission ( $\sigma_e$ ): Plus la temperature matiere est elevee, plus l'emission est importante
- Absorption ( $\sigma_a$ ): Lorsqu'on est a l'equilibre thermique,  $\sigma_a = \sigma_e$
- Scattering ( $\sigma_c$ ): Il faut aussi tenir compte de la fonction de distribution angulaire de scattering  $\chi \chi p(\Omega' \rightarrow \Omega)$  (Turpault, 2004).



# L'ETR

L'équation du transfert radiatif est bilan d'énergie lié au rayonnement au niveau mésoscopique.

$$\begin{aligned} \frac{1}{c} \frac{\partial}{\partial t} I(t, \mathbf{x}, \boldsymbol{\Omega}, \nu) + \boldsymbol{\Omega} \cdot \nabla_{\mathbf{x}} I(t, \mathbf{x}, \boldsymbol{\Omega}, \nu) \\ = \sigma_a(\rho, \boldsymbol{\Omega}, \nu) (B(\nu, T) - I(t, \mathbf{x}, \boldsymbol{\Omega}, \nu)) \\ + \frac{1}{4\pi} \int_0^\infty \int_{S^2} \sigma_c(\rho, \boldsymbol{\Omega}, \nu) p(\boldsymbol{\Omega}' \rightarrow \boldsymbol{\Omega}) (I(t, \mathbf{x}, \boldsymbol{\Omega}', \nu) - I(t, \mathbf{x}, \boldsymbol{\Omega}, \nu)) d\boldsymbol{\Omega}' d\nu \end{aligned}$$

Où

- $I(t, \mathbf{x}, \boldsymbol{\Omega}, \nu)$  désigne l'intensité radiative spécifique;
- $B(\nu, T)$  la fonction de Planck;
- $\oint p(\boldsymbol{\Omega}' \rightarrow \boldsymbol{\Omega}) d\boldsymbol{\Omega}' = 1$

# Le modele P1

D'apres (Franck, 2012)

$$\begin{cases} \partial_t E + c \operatorname{div} F = c\sigma_a (aT^4 - E) \\ \partial_t F + c \nabla E = -c\sigma_c F \\ \rho C_v \partial_t T = c\sigma_a (E - aT^4) \end{cases}$$

Ou:

$$E(t, x) = \frac{4\pi}{c} \int_0^\infty \int_{S^2} I(t, x, \Omega, \nu) d\Omega d\nu$$

$$F(t, x) = \frac{4\pi}{c} \int_0^\infty \int_{S^2} \Omega I(t, x, \Omega, \nu) d\Omega d\nu$$

## Le schema de jj splitting $\mathcal{U}$ : Etape 1

On pose  $\Theta = aT^4$

$$\begin{cases} E_j^{q+1} = \frac{\alpha E_j^n + \beta \gamma \Theta_j^n}{1 - \beta \delta} \\ \Theta_j^{q+1} = \frac{\gamma \Theta_j^n + \alpha \delta E_j^n}{1 - \beta \delta} \end{cases}$$

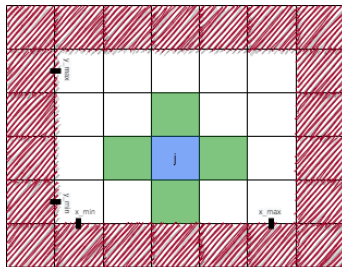
En posant

$$\mu_q = \frac{1}{T^{3,n} + T^n T^{2,q} + T^q T^{2,n} + T^{3,q}}$$

On a

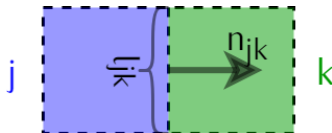
$$\alpha = \frac{1}{\Delta t \left( \frac{1}{\Delta t} + c\sigma_a \right)}, \quad \beta = \frac{c\sigma_a}{\frac{1}{\Delta t} + c\sigma_a}, \quad \gamma = \frac{\rho_j C_V \mu q}{\Delta t \left( \frac{\rho_j C_V \mu q}{\Delta t} + c\sigma_a \right)} \quad \text{et} \quad \delta = \frac{c\sigma_a}{\frac{\rho_j C_V \mu q}{\Delta t} + c\sigma_a}.$$

Convergence vers  $E_j^*$  et  $\Theta_j^*$ .  $F_j$  reste constant égale à  $F_j^*$ .



## Le schema de jj splitting $\mathcal{L}$ : Etape 2

$$\begin{cases} E_j^{n+1} = E_j^* + \alpha \sum_k (F_{jk}, n_{jk}) \\ F_j^{n+1} = \beta F_j^* + \gamma E_j^n + \delta \sum_k E_{jk} n_{jk} \end{cases}$$



Avec :

$$\alpha = -\frac{c\Delta t}{|\Omega_j|},$$

$$\beta = \frac{1}{\Delta t} \left( \frac{1}{\Delta t} + c \sum_k M_{jk} \sigma_{jk} \right)^{-1},$$

$$\gamma = \frac{c}{|\Omega_j|} \left( \frac{1}{\Delta t} + c \sum_k M_{jk} \sigma_{jk} \right)^{-1} \left( \sum_k l_{jk} M_{jk} n_{jk} \right)$$

$$\delta = -\frac{c}{|\Omega_j|} \left( \frac{1}{\Delta t} + c \sum_k M_{jk} \sigma_{jk} \right)^{-1}$$

$$(F_{jk}, n_{jk}) = l_{jk} M_{jk} \left( \frac{F_j^n \cdot n_{jk} + F_k^n \cdot n_{jk}}{2} - \frac{E_k^n - E_j^n}{2} \right)$$

$$E_{jk} n_{jk} = l_{jk} M_{jk} \left( \frac{E_j^n + E_k^n}{2} - \frac{F_k^n \cdot n_{jk} - F_j^n \cdot n_{jk}}{2} \right) n_{jk}$$

$$M_{jk} = \frac{2}{2 + \Delta x \sigma_{jk}}$$

$$\sigma_{jk} = \frac{1}{2} \left( \sigma_c(\rho_j, T_j^n) + \sigma_c(\rho_k, T_k^n) \right)$$

# Implementation C++

- Temps final = 0.01 sh
- $c = 299$  [cm/sh]
- $a = 0.01372$  [g/cm/sh<sup>2</sup>/keV]
- $C_v = 0.14361$  [Jerk/g/keV]
- La densité  $\rho$  est un signal créneau [g cm<sup>-3</sup>]
- $\sigma_a = \rho T$  [cm<sup>-1</sup>]
- $\sigma_c = \rho T$  [cm<sup>-1</sup>]
- $T_0, T_{gauche} = 5$  [keV]
- $E_0 = aT_0^4$  [g/cm/sh<sup>2</sup>]
- $E_{gauche*} = aT_0^4 + 5 \sin(2k\pi t)$  [g/cm/sh<sup>2</sup>]
- $F_0, F_{gauche} = 0$  [g/sh<sup>2</sup>]
- Sorties libres sur les autres bords

```
x_min 0
x_max 1
y_min 0
y_max 1
N 90

c 299
a 0.01372
C_v 0.14361

CFL 0.5
precision 1e-6
t_0 0
t_f 0.01

rho crenau(0.5,0.5,0.1,10)
sigma_a rho*T
sigma_c rho*T

E_0 0.01372*(5^4)
F_0_x 0
F_0_y 0
T_0 5
```

```
E_u neumann
F_u_x neumann
F_u_y neumann
T_u neumann

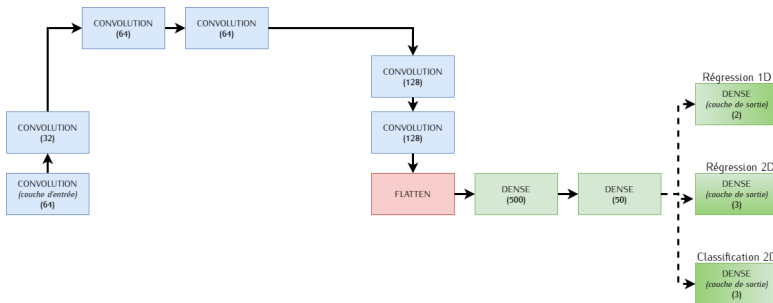
E_d neumann
F_d_x neumann
F_d_y neumann
T_d neumann

E_l ponctuel(0.4,0.6)
F_l_x 0
F_l_y 0
T_l 5

E_r neumann
F_r_x neumann
F_r_y neumann
T_r neumann

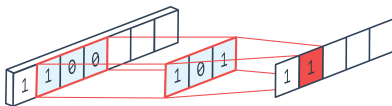
export_file data/df_simu.csv
export_mode dataframe
write_mode truncate
```





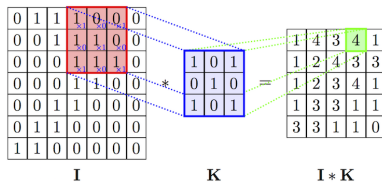
# Les couches utilisées: Convolutions (Cross-correlation)

$$S(i) = (I * K)(i) = \sum_m I(i+m)K(m)$$



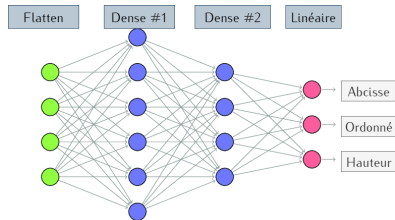
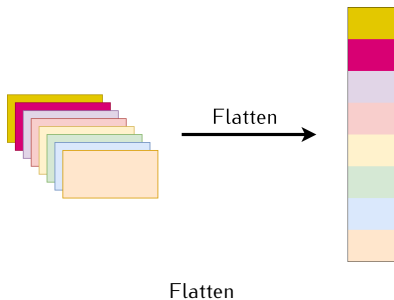
En 1D (Ganesh, 2019)

$$S(i, j) = (I * K)(i, j) = \sum_m \sum_n I(i+m, j+n)K(m, n)$$



En 2D (Packt, s.d)

# Les couches utilisees: Flatten et Dense



Des couches denses

# Les metriques

## Coefficient de determination

$$R^2 = 1 - \frac{SS_{res}}{SS_{tot}}$$

Avec

$$SS_{res} = \sum_{i=1}^n (y_i - \hat{y}_i)^2$$

$$SS_{tot} = \sum_{i=1}^n (y_i - \bar{y})^2$$

Ou  $\bar{y} = \sum_{i=1}^n y_i$  représente la moyenne des valeurs observées.

## Score personlise

Pourcentage des prédiction correcte si la prediction et le label sont suffsament proche:

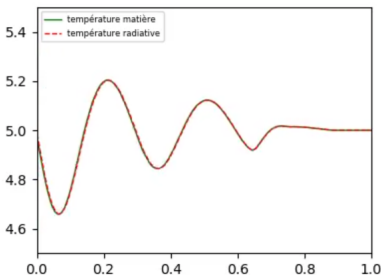
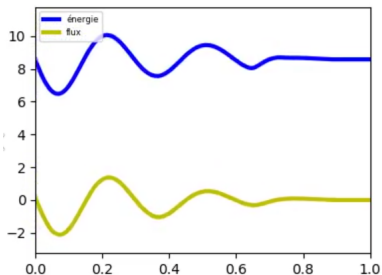
- **au dixième près** pour la position (suivant  $x$  ou  $y$ )
- **à l'unité près** pour la hauteur

# Les hyper-paramètres

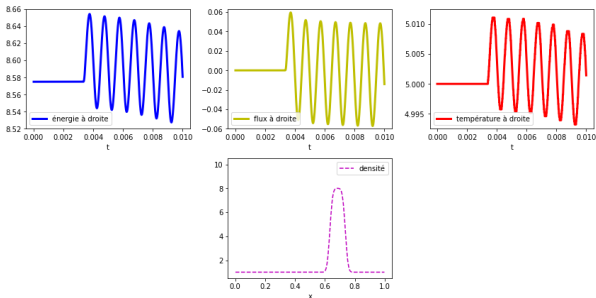
Liste des paramètres les plus influents pour l'entraînement

Hyper-paramètre	Définition	Valeur 1D / 2D
optimizer	algorithme d'optimisation	Adam
learning rate	taux d'apprentissage	1e-4 / 1e-5
batch size	taille d'un batch a chaque epoque	32
epochs	nombre d'époques	100
patience	patience pour l'early stopping	10
kernel size	taille du noyau de convolution	3 / (6,2)
activation	type de fonction d'activation	relu, linear, sigmoid

# Exemple de simulation 1D



## Entree sortie 1D


$$(50, 3)$$

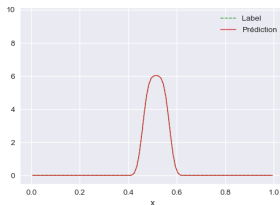
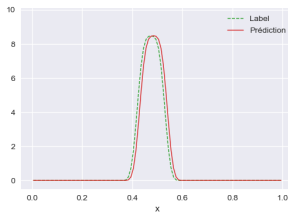
Dimension temporelli

Nombre de canaux

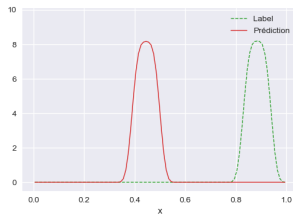
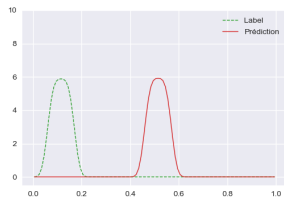
Taille d'une  
entree

## Entrees sortie pour le reseau de neurones

# Meilleures/Pires predictions du reseau de neurones



Les meilleures predictions



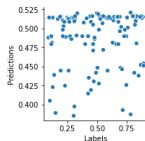
Les pires predictions



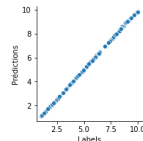
# Scores 1D

Scores 1D

Nom du score	Valeur
R2	99.50 %
Personnalisé	28.21 %



Correlation des position



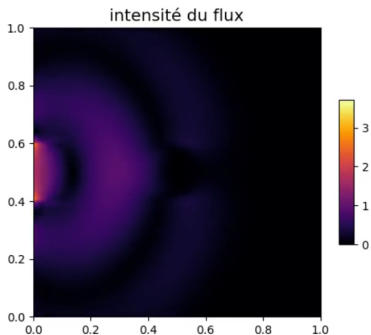
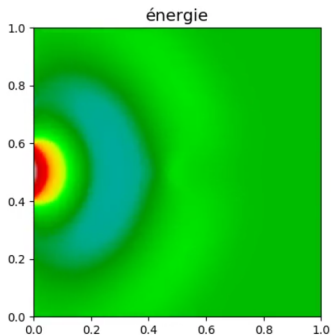
Correlation des hauteur

# Conclusion sur la régression 1D

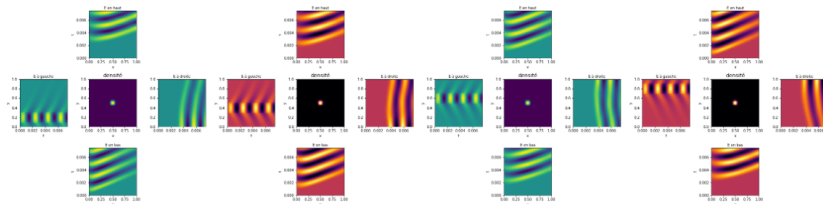
Les cause de l'échec:

- Le probleme inverse est probablement mal pose
- Le score  $R^2$  est mal calcule

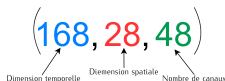
# Exemple de simulation 2D



# Entree sortie 2D

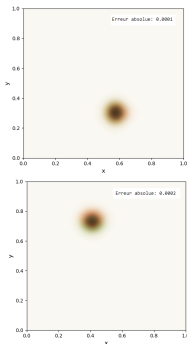


Entrees sortie pour le reseau de neurones

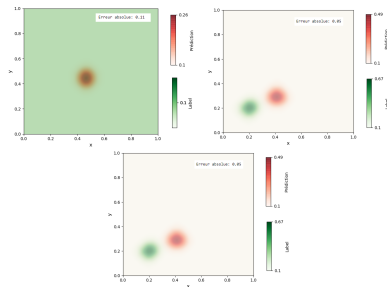


Taille d'une entree

# Meilleures/Pires predictions du reseau de neurones



Les meilleures predictions

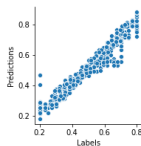


Les pires predictions

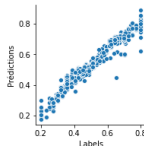
# Scores 2D

## Scores 2D

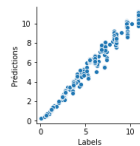
Nom du score	Valeur
R2	98.81 %
Personnalisé	93.50 %



Correlation de l'abscisse



Correlation de l'ordonnee



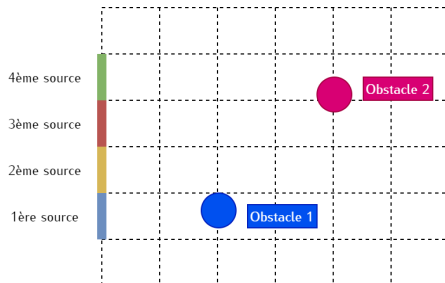
Correlation des hauteur

# Conclusion sur la régression 2D

Detection de toutes les variables:

- L'abscisse, l'ordonnée, et la hauteur: reconstruction complete de la densité
- La valeur de la densité en dehors du crenau est connue

# Classification 2D



## Labels

Obstacle 1: 1 0 0 0

Obstacle 2: 0 0 1 1

Labels pour la classification

## Scores de classification

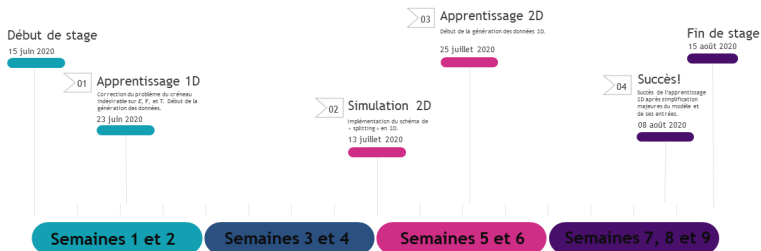
Nom	Valeur
R2	98.86 %
Pers.	95.45 %



# Bilan de l'apprentissage

- 1 **Régression 1D** : Permet de détecter la hauteur du créneau
- 2 **Classification 2D** : Permet de localiser l'ordonnée du créneau
- 3 **Régression 2D** : Permet de prédire tous les attributs essentiels du créneau (abscisse, ordonnée, et hauteur)

# Bilan du stage



Points tournants du le stage

# Apports et enseignements

- Développement C++ et Python
- Equations aux derivees partielles
- Reseaux de neurones
- Experience dans un milieu de recherche



Franck, E. (Oct. 2012). "Construction et analyse numérique de schéma asymptotic preserving sur maillages non structurés. Application au transport linéaire et aux systèmes de Friedrichs". In: *Archive ouverte HAL*, pp. 12, 160–161. URL: <https://tel.archives-ouvertes.fr/file/index/docid/744371/filename/theseFranckv3.pdf>.



Ganesh, Prakhar (Oct. 2019). "Types of Convolution Kernels : Simplified". In: URL: <https://towardsdatascience.com/types-of-convolution-kernels-simplified-f040cb307c37>.



Packt (s.d). "Convolutional neural networks". In: URL: [https://subscription.packtpub.com/book/game\\_development/9781789138139/4/ch04lvl1sec31/convolutional-neural-networks](https://subscription.packtpub.com/book/game_development/9781789138139/4/ch04lvl1sec31/convolutional-neural-networks).



Turpault, R. (Feb. 2004). "Modelisation, approximation numerique et applications du transfert radiatif en desequilibre spectral couple avec l'hydrodynamique". In: *Archive ouverte HAL*, pp. 13–22. URL: <http://docplayer.fr/177010094-Modelisation-approximation-numerique-et-applications-du-transfert-radiatif-en-desequilibre-spectral-couple-avec-l-hydrodynamique.html>.